

УДК 524.338.2

Активные Ве-звезды

В. Д. Кругов

Приводятся результаты спектроскопических наблюдений активных Ве-звезд: 28 Cyg, CX Dra и λ Cyg. Для профилей линий H_{α} и H_{β} получены величины E/C , V/R и W . У 28 Cyg и CX Dra обнаружены быстрые изменения эмиссии в линии H_{α} . Наряду с быстрыми изменениями общей интенсивности эмиссии у CX Dra наблюдалось исчезновение эмиссионных линий.

ACTIVE Be STARS, by Krugov V. D.—Spectroscopic observational data of active Be stars 28 Cyg, CX Dra, and λ Cyg are presented. E/C , V/R and W values for H_{α} and H_{β} profiles were obtained. 28 Cyg and CX Dra show rapid variations of emission in H_{α} . While showing rapid variation in total intensity of emission, CX Dra demonstrated full disappearing of emission in H_{α} .

Хотя наблюдения Ве-звезд ведутся уже в течение более ста лет, динамика их образования и эволюции до сих пор не ясна. В последние годы с ИСЗ Copernicus и IUE были получены новые данные, которые позволили изучать динамику, структуру, размеры и термодинамику околовзвездной оболочки. Но пока нет четкого ответа на вопрос, почему только некоторые В-звезды, а именно Ве-звезды, обладают околовзвездной оболочкой.

По-видимому, только в рамках модели двойной звезды можно правдоподобно ответить на этот вопрос [7]. Однако в обзоре [11] отмечается, что вследствие немногочисленности использованных в работе [7] двойных звезд, нельзя говорить о достоверности этого представления. Многие Ве-звезды являются членами скоплений (например, Плеяд), и установлено, что на диаграмме Г—Р Ве-звезды лежат выше и правее соответствующих звезд нулевой главной последовательности [11]. Эволюцию звезды можно правильно понять лишь при учете наличия оболочки и быстрого вращения звезды, которые заметно влияют на ее основные свойства. Вследствие этого массы, температуры, радиусы, светимости и эволюционное положение Ве-звезд до сих пор известны с недостаточной точностью. Один факт хорошо изучен: классические Ве-звезды врачаются быстрее нормальных В-звезд, но не ясно, почему быстровращающиеся звезды в большем количестве встречаются среди звезд спектрального класса В, чем среди звезд других классов.

Возросшие инструментальные возможности позволяют исследовать спектроскопическую переменность многих Ве-звезд. Так, в работе [3] сообщается о систематических (1980—82 гг.) спектральных наблюдениях большого числа (~ 100) звезд, названных активными, поскольку у них обнаружены и детально описаны изменения профилей линии H_{α} . По мнению автора работы [3], эти звезды следует включить в программы спектроскопических, фотометрических и поляриметрических наблюдений.

В программу наших спектроскопических наблюдений входили следующие активные Ве-звезды: CX Dra, λ Cyg и 28 Cyg. Наблюдения проведены в 1982—1984 гг. Результаты приводятся в данной статье.

Наблюдения. Наблюдения ярких Ве-звезд проводились в Голосеево на 70-см телескопе АЗТ-2, а также на 60-см рефлекторе ВНБ «Терскол» с помощью спектрографа UAGS в двух областях спектра: 350—500 нм и 500—700 нм (эмulsionии Eastman Kodak 103a-O и 103a-F) с дифракционными решетками, характеристика которых приведена в табл. 1. Все наблюдения проводились при размерах щели спектрографа

0.12×2.5 мм. При этом красная область спектра звезды 6.0^m получалась за 90 мин с дифракционной решеткой $651/28^\circ$. Проявление пластиночек осуществлялось в стандартном проявителе MWP-2. Для калибровки спектров использовался стандартный ступенчатый ослабитель (девять градаций плотности). Характеристические кривые строились для исследуемых длин волн спектральных линий H_α , H_β , H_γ и H_δ . Все

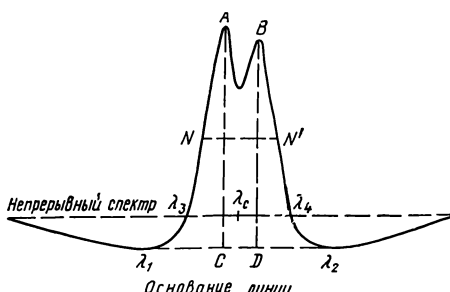


Рис. 1. Схематический профиль эмиссионной линии, наблюдаемой в Ве-звездах

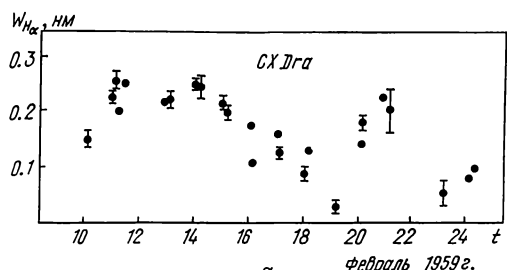
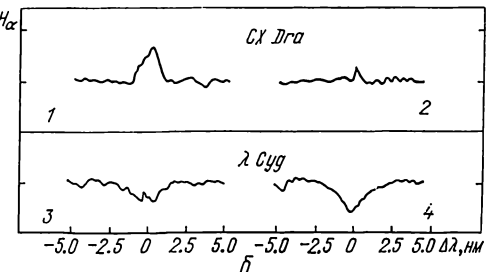


Рис. 2. Эквивалентные ширины (а) и относительные интенсивности профиля эмиссионной линии H_α (б) в спектрах CX Dra и λ Cyg согласно [3, 8]. CX Dra: 1—18.06.80 г.; 2—23.06.82 г. λ Cyg: 3—1.06.81 г.; 4—5.06.82 г.



спектры измерялись на микрофотометре МФ-4 с записью в интенсивностях. В каждую наблюдательную ночь мы получали спектры выбранных нами звезд, а в одну из ночей — 3—4 спектра для одной звезды (28 Cyg). Тем самым мы могли грубо оценить ошибку наблюдений при условии, что для данной звезды не наблюдаются изменения профиля эмиссионной линии в течение нескольких часов.

Таблица 1. Характеристика дифракционных решеток, используемых при наблюдениях

Количества штрихов	Угол блеска, град.	Порядок	Спектральный диапазон, нм	Обратная линейная дисперсия, нм/мм	
				камера $F=110$ мм	камера $F=175$ мм
651	8	1	300—700	13.6	8.6
1302	17	1	300—700	7.0	4.4
651	28	2	500—700	—	4.4
651	28	3	420—550	—	2.9

С мая 1982 по сентябрь 1984 года нами было получено около 50 спектрограмм в спектральном диапазоне 350—700 нм.

Результаты наблюдений. Изменения, происходящие в спектрах Ве-звезд, можно разделить на следующие две группы: 1. Изменения общей интенсивности эмиссии. 2. Изменения вида профиля эмиссионной линии. Схематический профиль эмиссионной линии представлен на рис. 1. Введем следующие обозначения: $I(\lambda)$ — интенсивность, измеренная на длине волны λ профиля линии; $I_F(\lambda)$ — интенсивность в той же длине волны λ основания линии (на прямой, соединяющей два минимума интенсивности на λ_1 и λ_2); $I(\lambda_c)$ — интенсивность в точке $\lambda_c =$

$= (\lambda_3 + \lambda_4)/2$ непрерывного спектра. Эквивалентная ширина эмиссионной линии вычисляется следующим образом [2]:

$$W = \int_{\lambda_1}^{\lambda_2} \{[I(\lambda) - I_F(\lambda)]/I(\lambda_C)\} d\lambda. \quad (1)$$

Изменения интенсивности первой группы обычно характеризуются изменением величины $E/C = I_A/I_F$, т. е. отношением максимума интенсивности эмиссии I_A к интенсивности в основании эмиссионной линии I_F . Изменения второй группы характеризуются изменениями величины

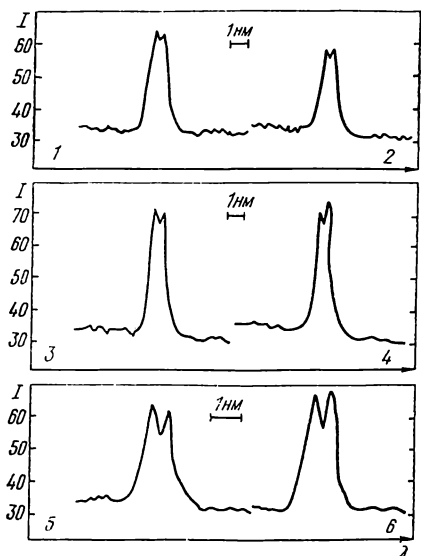


Рис. 3. Профили эмиссионной линии H_α у 28 Сyg в различные даты наблюдений: 1—9/10.82 г.; 2—7/8.82 г.; 3—20/21.83 г.; 4—19/20.83 г.; 5—27/28.84 г.; 6—6/9.84 г.

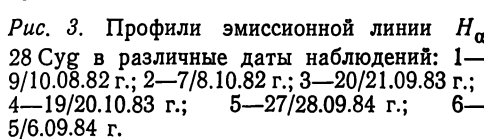


Рис. 4. Профили эмиссионной линии H_α у 28 Сyg: 1—7/8.10.82 г.; 2—за период 1982—83 гг.

отношения V/R интенсивности коротковолнового компонента V эмиссионной линии к интенсивности длинноволнового компонента R . Величина $V/R = (I_A - I_C)/(I_B - I_D)$ (см. рис. 1).

Многочисленные наблюдения Ве-звезд [1] показывают, что изменения отношения E/C и V/R различны у разных Ве-звезд. Изменения E/C , как правило, характеризуются резким возрастанием и более медленным уменьшением. Как отмечают некоторые авторы, эмиссионная линия может вообще исчезать (см. рис. 2 б). Изменения величины V/R в некоторых случаях имеют периодический характер, например у μ Cen [10], а в других случаях величина V/R меняется совершенно неправильным образом, например у π Aql [9].

Итак, по систематическим продолжительным спектральным наблюдениям Ве-звезд можно попытаться выяснить причину реальных изменений физических характеристик разреженных газовых оболочек Ве-звезд. Рассмотрим теперь отношения E/C и V/R для наблюдавшихся нами звезд 28 Cyg, λ Cyg и CX Dra.

28 Cyg (HD 191610, B2.5 V e [4, 5], $v \sin i = 310$ км/с [14]). В работе [12] показано, что эмиссия в H_α в июне 1977 г. была заметно слабее, чем в ноябре 1976 г. Среднее значение в 1976 г. составляло $W = 1.39$ нм ($\sigma_W = 0.045$ нм), а в июне 1977 г. $W = 1.28$ нм ($\sigma_W = 0.049$ нм). В работе [6] у 28 Cyg (использованной как звезда сравнения) в 1977 г. найдена короткопериодическая переменность в цвете V . Блеск звезды увеличился на 0.035^m за 5 ч в течение ночи 8/9 октября 1976 г. и уменьшился на 0.020^m за 3 ч в течение следующей ночи. Результаты UBV наблюдений 28 Cyg, приведенные в работе [13], показали, что в июле 1978 г. обнаружено увеличение периода короткопериодической переменности по сравнению с 1976 г. на 0.7^d (в течение 4 ночей). Наши наблюдения 28 Cyg проведены в течение 14 ночей в 1982—1984 гг.

Результаты приведены в табл. 2. Профили эмиссионной линии H_{α} в различные даты наблюдений показаны на рис. 3. Анализируя наши наблюдательные данные, можно сделать следующие выводы. У 28 Сyg обнаружены изменения профиля эмиссионной линии H_{α} как от месяца к месяцу, так и от ночи к ночи. На рис. 4 справа показан профиль эмиссионной линии H_{α} , полученный в одну ночь 7/8.10.82 г., слева — в течение остальной

Таблица 2. Результаты наблюдений 28 Сyg в 1982—1984 гг.

 $(E_{\Pi}, W_{\Pi}$ — для линий поглощения)

Дата	H_{α}					H_{β}				Дисперсия	
	E_V/C	E_R/C	V/R	$W_{\text{в}},$ нм	σ_{W^*} нм	E_{Π}/C	W_{Π^*} нм	σ_{W^*} нм	$H_{\alpha'}$ нм/мм	$H_{\beta'}$ нм/мм	
9/10.08.82	2.05	2.01	1.034	1.05	—	—	—	—	8.6	8.6	
7/8.10.82	1.81	1.84	0.963	0.90	—	—	—	—	8.6	8.6	
7/8.10.82	1.83	1.89	0.930	0.82	0.029	—	—	—	8.6	8.6	
7/8.10.82	1.87	1.88	0.980	0.88	—	—	—	—	8.6	8.6	
19/20.09.83	2.19	2.17	1.018	1.06	—	0.83	-0.64	0.08	8.6	8.6	
20/21.09.83	2.33	2.28	1.047	1.14	0.05	0.83	-0.48	—	8.6	8.6	
21/22.09.83	2.31	2.31	1.000	1.18	—	—	—	—	8.6	8.6	
17/18.09.83	2.02	2.00	1.024	0.93	—	—	—	—	8.6	8.6	
19/20.10.83	2.26	2.39	0.911	1.16	0.12	0.83	-0.55	—	8.6	8.6	
19/20.06.84	2.70	2.60	1.071	1.35	—	—	—	—	4.4	2.9	
5/6.09.84	2.20	2.25	0.951	0.86	—	0.78	-0.67	—	4.4	2.9	
17/18.09.84	1.93	1.95	0.976	0.80	—	—	—	—	4.4	2.9	
21/22.09.84	2.05	2.00	1.049	0.97	0.13	—	—	—	4.4	2.9	
26/27.09.84	1.80	1.83	0.969	0.67	—	0.76	-0.80	0.050	4.4	2.9	
27/28.09.84	2.05	1.98	1.073	1.05	—	0.86	-0.73	—	4.4	2.9	

Таблица 3. Результаты наблюдений звезды λ Сyg в период сентябрь — октябрь 1983 г.
(E_{Π}, W_{Π} — для линий поглощения)

Дата	H_{α}			H_{β}			Дисперсия	
	E_{Π}/C	W_{Π^*} , нм	σ_{W^*} , нм	E_{Π}/C	W_{Π^*} , нм	σ_{W^*} , нм	$H_{\alpha'}$, нм/мм	$H_{\beta'}$, нм/мм
20/21.09.83	0.70	-0.475	0.003	0.50	-0.944	0.072	8.6	8.6
21/22.09.83	0.71	-0.482	—	0.53	-0.800	—	8.6	8.6
17/18.10.83	0.70	-0.483	0.019	0.53	-1.040	—	8.6	8.6
19/20.10.83	0.71	-0.521	0.019	0.53	-0.890	0.075	8.6	8.6

Таблица 4. Результаты наблюдений СХ Dra за 1982—1984 гг.

 $(E_{\Pi}, W_{\Pi}$ — для линий поглощения)

Дата	H_{α}					H_{β}				Дисперсия	
	E_V/C	E_R/C	V/R	$W_{\text{в}},$ нм	σ_{W^*} нм	E_{Π}/C	W_{Π^*} нм	σ_{W^*} нм	$H_{\alpha'}$, нм/мм	$H_{\beta'}$, нм/мм	
5/6.05.82	1.26	1.26	1.000	0.23	—	0.63	-1.13	0.11	8.6	8.6	
12/13.05.82	1.62	1.62	1.000	0.47	0.12	0.67	-0.98	0.11	8.6	8.6	
13/14.05.82	1.47	1.47	1.000	0.46	—	0.84	-0.86	0.11	8.6	8.6	
5/6.08.82	1.28	—	—	0.17	—	0.69	-0.69	—	8.6	8.6	
7/8.08.82	1.00	1.00	1.000	—	0.11	0.71	-0.78	0.04	8.6	8.6	
9/10.08.82	1.00	1.00	1.000	—	—	0.75	-0.73	—	8.6	8.6	
4/5.10.82	0.89	0.89	1.000	-0.11	—	0.67	-0.77	—	8.6	8.6	
5/6.09.84	1.21	1.21	1.000	0.29	—	0.69	-0.74	0.002	4.4	2.9	
16/17.09.84	1.18	1.18	1.000	0.13	—	0.68	-0.74	—	4.4	2.9	
17/18.09.84	1.25	1.25	1.000	0.25	0.07	—	—	—	4.4	2.9	
21/22.09.84	1.14	1.14	1.000	0.12	—	—	—	—	4.4	2.9	
26/27.09.84	1.21	1.21	1.000	0.14	—	—	—	—	4.4	2.9	

ных ночей. Сравнивая наши эквивалентные ширины H_{α} ($W=0.82-1.35$ нм) за весь период наблюдений с данными работы [12], можно отметить их хорошее согласие. Однако наши значения W за 1982—84 гг. систематически меньше, чем в [12]. Нами также получены профили эмиссионной линии H_{β} (табл. 2).

λ Cyg (HD 198183 A, B5 IV, V e [4, 5], $v \sin i = 165$ км/с [14]). Наблюдения λ Cyg [6] показывают, что эту звезду до 1981 г. можно было использовать в качестве стандарта, поскольку за многие годы она не показывала наличия каких-либо эмиссионных линий. Профили линий

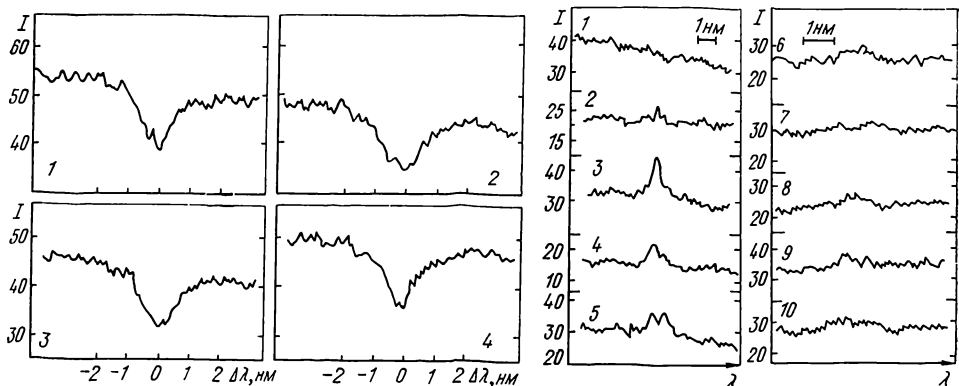


Рис. 5. Профиль спектральной линии H_{α} у λ Cyg в различные даты наблюдений: 1—17/18.10.83 г.; 2—19/20.10.83 г.; 3—20/21.09.83 г.; 4—21/22.09.83 г.

Рис. 6. Быстрые изменения профиля эмиссионной линии H_{α} у CX Dra в различные периоды наблюдений: 1—4/5.10.82 г.; 2—5/6.08.82 г.; 3—13/14.05.82 г.; 4—12/13.05.82 г.; 5—5/6.08.82 г.; 6—26/27.09.84 г.; 7—21/22.09.84 г.; 8—17/18.09.84 г.; 9—16/17.09.84 г.; 10—5/6.09.84 г.

H_{α} , полученные в ноябре 1976 г. и июне 1977 г., не дают каких-либо указаний на их переменность. Но уже в работе [3] обнаружено наличие слабого центрального двойного пика эмиссии в H_{α} в июне 1981 г., что было первым указанием на эмиссию в спектре этой звезды за несколько десятков лет. Эмиссия исчезла в июле 1982 г.

Наши исследования линий H_{α} и H_{β} у λ Cyg проведены в течение 4 ночей. Профили H_{α} , полученные в сентябре и октябре 1983 г., показаны на рис. 5. В одну ночь (17/18 октября 1983 г.), по-видимому, H_{α} наблюдалась в эмиссии. Обнаружены изменения общей интенсивности и профилей линий H_{α} и H_{β} (табл. 3).

CX Dra (HD 174237, B3 V e [4, 5], $v \sin i = 175$ км/с [14]). У этой звезды обнаружена очень нестабильная эмиссия в линии H_{α} и отмечено, что она может изменяться в течение нескольких суток. Эти быстрые изменения, вероятно, относятся к 6.7-дневному периоду вариаций блеска звезды, обнаруженных другими авторами. Однако изменения эмиссии в линии H_{α} , возможно, связаны с более сложными долгопериодическими вариациями. Быстрые изменения эмиссии в H_{α} у CX Dra в феврале 1959 г. приведены на рис. 2 (a). Данные взяты из работы [8]. Результаты наших наблюдений этой звезды, которые проводили в течение 12 ночей, приведены в табл. 4 и на рис. 6. Они показывают наличие быстрых изменений общей интенсивности эмиссии, а также наличие вариации профилей эмиссионной линии вплоть до полного их исчезновения. Эмиссия в H_{α} полностью исчезала 4/5.10.82 и 21/22.09.84 г. Возможно, что у данной звезды на короткопериодические вариации накладываются более сложные изменения, которые необходимо исследовать. На протяжении всего периода наших наблюдений эмиссия в H_{α} у CX Dra была очень слабой. Наши спектральные наблюдения активных Ве-звезд будут продолжены.

Заключение. Проведенные спектроскопические наблюдения активных Ве-звезд ($28\ \text{Cyg}$, $\lambda\ \text{Cyg}$ и $\text{CX}\ \text{Dra}$) в 1982—84 гг. позволили выявить следующие особенности поведения эмиссионных линий H_α и H_β . 1. У всех наблюдаемых звезд обнаружены быстрые изменения эмиссии в линии H_α . 2. Для звезды $28\ \text{Cyg}$ от ночи к ночи наблюдаются вариации отношения V/R и эквивалентной ширины. 3. У $\text{CX}\ \text{Dra}$ наблюдаются быстрые изменения общей интенсивности эмиссии E/C и V/R вплоть до полного ее исчезновения. 4. В 1982—1984 гг. эмиссия в линии H_α у $\text{CX}\ \text{Dra}$ была слабой.

В заключение выражают благодарность А. А. Сапару за полезные замечания.

1. Боярчук А. А. Об оболочках Ве звезд.— Вопр. космогонии, 1960, 7, с. 231—257.
2. Andriat Y. Deuxieme catalogue du profil de la raie H_α dans 55 étoiles Be.— Astron. and Astrophys. Suppl. Ser., 1983, 53, N 3, p. 319—338.
3. Barker K. P. Active Be stars.— Publs Astron. Soc. Pacif., 1983, 95, N 574, p. 996—999.
4. Buscombe W. MK spectral classifications / Third general catalogue.— Evanston : Northwestern Univ., 1977.—250 p.
5. Buscombe W. MK spectral classifications / Fifth general catalogue.— Evanston : Northwestern Univ., 1981.—230 p.
6. Gies D. R., Percy J. R. Photometric variability of $29\ \text{Cyg}$.— Astron. J., 1977, 82, N 2, p. 166—168.
7. Kriz S., Harmanc P. A hypothesis of the binary origin of Be stars.— Bull. Astron. Inst. Czech., 1975, 26, N 2, p. 65—81.
8. Lacoarret M. Enveloppes d'étoiles Be: Variations spectrales et caractéristiques physiques.— Ann. Astrophys., 1965, 28, N 2, p. 321—347.
9. McLaughlin D. B. Notes on spectra of class Be.— Astrophys. J., 1937, 85, N 2, p. 181—192.
10. Peters G. I. An analysis of the far-ultraviolet spectra of the pole-on Be stars $\nu\ \text{Cygni}$ and $\mu\ \text{Centauri}$.— Astrophys. J. Suppl. Ser., 1979, 39, N 2, p. 175—193.
11. Slettebak A. The Be stars.— Space Sci. Rev., 1979, 23, N 4, p. 541—580.
12. Slettebak A., Reynolds R. C. H_α variations in the spectra of the brighter northern Be stars.— Astrophys. J. Suppl. Ser., 1978, 38, N 3, p. 205—228.
13. Spear G. G., Millis J.-R., Snedden S. A. Short-period photometric variability of the Be star $28\ \text{Cyg}$.— Publs Astron. Soc. Pacif., 1981, 93, N 554, p. 460—463.
14. Uesugi A., Fukuda J. Revised catalogue of stellar rotational velocities.— Kyoto : Kyoto Univ., 1982.—83 p.

Глав. астрон. обсерватория АН УССР,
Киев

Поступила в редакцию 26.02.85,
после доработки 18.04.85